透射式 GaAs 光电阴极 AlGaAs/GaAs 外延层 X 射线衍射摇摆曲线研究

李晓峰 张景文 高鸿楷 侯 洵

(中国科学院西安光学精密机械研究所光电子学研究室,西安710068)

摘 要 利用透射式 GaAs 光电阴极 AlGaAs/GaAs 外延层的结构特点及其 X 射线衍射摇摆 曲线分析方法,解释了 AlGaAs/GaAs 外延层摇摆曲线半峰宽和其衍射角角位移随外延层生长温度升高而增大的现象.

关键词 GaAs;AlGaAs;X 射线;光电阴极;衍射;外延

0 引言

半导体外延层 X 射线衍射的摇摆曲线包括 了外延层的结晶质量、厚度、晶格常量、应力等方 面的信息,由摇摆曲线可以得出外延层的衍射 角(衍射峰位),从而可以确定外延层的晶格常量. 对三元化合物,还可以确定其组份1. 由摇摆曲线 衍射强度条纹的角间距还可以确定外延层的厚度. 如果外延层的晶格常量是已知的,那么根据外延 层与衬底之间的应变状况就可以直接从外延层某 一品面对称衍射的衍射角将晶面间距确定下来. 如果外延层的晶格常量是未知的,那么根据外延 层与衬底某一晶面的非对称衍射的衍射角也可以 将晶面间距确定下来. 通过计算机的模拟2,还可 以确定外延层的某些结构参量,如外延层的组份 梯度、超晶格的周期等,所以在半导体外延层的 生长过程中, X 射线衍射仪也就成了半导体外延 设备所不可缺少的配套分析工具.对于 Ⅲ- Ⅴ族 半导体而言,一般利用其(004)晶面的 X 射线衍 射摇摆曲线来监测(001)衬底上所生长的外延层 的结晶质量,这对于 AlGaAs/GaAs 外延层也不 例外,然而一般外延层摇摆曲线的分析方法主要 适用于较薄的单层外延层或单层外延层及其保护 层(capping layer or passivating layer).对于透射 式 GaAs 光电阴极(以下简称 GaAs 光电阴极)这 种特殊的四层器. 件结构外延层来讲, 在利用

摇摆曲线分析其结构特性时,必须结合其具体的结构特点,这样才能得到较为准确的信息并起到指导外延生长工艺的作用。所以本文介绍透射式GaAs 光电阴极 AlGaAs/GaAs 外延层的摇摆曲线分析方法。

1 GaAs 光电阴极 AlGaAs/GaAs 外延层的结构特点

透射式 GaAs 光电阴极一般采用生长四层外延层的倒置法工艺制作,其外延层通常采用MOCVD 技术进行生长。在 AlGaAs 外延层的MOCVD 生长过程中,AlGaAs 外延层的 Al组份主要由 TMAl与 TMG 的摩尔浓度比所决定,这一结论已由电子探针的分析所证实。外延层的膜层厚度在外延工艺一定的条件下由生长时间所决定,且外延层的厚度可由 SEM 或光学显微镜进行验正。根据 GaAs 光电阴极的设计要求,其外延层的结构如图 1 所示。从图 1 的结构可以看出,整个外延层的厚度小于 6 Hm,在 X 射线的穿透范围内,因此在整个外延层 X 射线衍射摇摆曲线中,GaAs 的衍射峰由两层 GaAs 外延层及其衬底的衍射峰叠加而成。同样 AlGaAs 的衍射峰也是由两层AlGaAs 外延层的衍射峰叠加而成,所

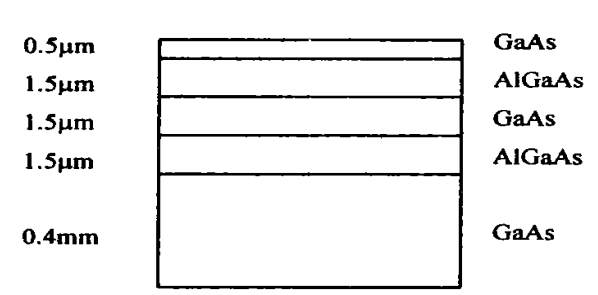


图 1 GaAs 光电阴极的外延层结构

Fig. 1 Epitaxial layer structure of GaAs photocathode 以仅从 GaAs 光电阴极 AlGaAs 或 GaAs 外延层 的衍射角及其衍射峰半峰宽是很难 分析出其各外延层结构参量的. 另外对GaAs 光电阴极这种四层结构外延层而言,除最后一层 外延层外,每一外延层的上下两边界上都存在应 力,并且该应力会通过晶格应变向外延层内部释 放,这样外延层就会存在一晶面间距变化梯度,因 此 GaAs 光电阴极 AlGaAs/GaAs 外延层中的晶 面间距是不均匀的,存在一晶面间距变化梯度,这 样由摇摆曲线所得到的衍射角或面间距只是各外 延层的平均衍射角或平均面间距,而不是某一外 延层的衍射角或面间距,对外延层应变的分析也 只能代表各外延层的平均应变,而不是某一外延 层的应变, 摇摆曲线的展宽也是各外延层摇摆曲 线展宽的叠加,而不表示某一外延层摇摆曲线的 展宽 . 因此一般外延层摇摆曲线的分析方法不适 应 GaAs 光电阴极外延层摇摆曲线的分析.对 GaAs 光电阴极外延层摇摆曲线的分析只有同 GaAs光电阴极具体的外延层结构特点结合起 来,才可能得出较为准确的结论。

AlGaAs 外延层 X 射线衍射摇摆 曲线的基本分析方法

在利用 X 射线衍射摇摆曲线来分析 AlGaAs 外延层的结构参量时,首先应该确定其 Bragg 衍 射角,它是进行 AlGaAs 外延层的结构分析的基 础. 一般认为 GaAs 衬底的 Bragg 衍射角 θ是固 定的,晶面倾角 ♥晶面同样品表面的夹角) 也是 固定的,因此可将其作为标定 AlGaAs 外延层 Bragg 衍射角和晶面倾角的基准,这样就可以消 除衍射仪的零位校准误差. 因此要确定 AlGaAs 外延层的衍射角和晶面倾角,必须先确定 AlGaAs 外延层的 Bragg 衍射角和晶面倾角同 GaAls 衬底 Bragg 1 衍射角和晶面倾角的差 Δθ和 ΔΦ 影响 AlGaAs 外延层与 GaAs 衬底衍射角

(入射 X 射线与样品表面的夹角) 角位移 Δω大小 的因素有:①AlGaAs 外延层和 GaAs 衬底的 (hkl) 晶面具有不同的晶面间距 · ②AlGaAs 外延 层和 GaAs 衬底的(hkl) 晶面存在不同的晶面倾 角 · 所以 Δω为³ ·

 $\Delta\omega = \Delta\theta + \Delta\Phi$ (1)

由式(1)知所测得的 AlGaAs 外延层和 GaAs 衬 底衍射角的角位移 Δω包括了 AlGaAs 外延层与 GaAs 衬底 Bragg 衍射角的角位移 Δθ和晶面倾 角的角位移 Δφ π Δθ和 Δφ可以通过同一晶面的 两次非对称衍射将其从 Δω中确定下来. 设某一 晶面的两次非对称衍射所测量到的衍射角为 ω (低角度衍射)和 🛛 (高角度衍射),那么根据简单 的衍射几何关系可得

$$\omega = \theta - \Phi$$
 (2)

$$ω = θ + Φ$$
 (3)

设 AlGaAs 外延层和 GaAs 衬底衍射角的角位移 在两次测量中分别为 $\Delta\omega$ 和 $\Delta\omega$,那么

$$\Delta \omega = \omega - \omega \tag{4}$$

$$\Delta \omega = \omega + \omega \tag{5}$$

以上两式中的上标 S 和 L 分别表示 GaAs 衬底和 AlGaAs 外延层,下标1和2分别表示第一次测 量(低角度衍射)和第二次测量(高角度衍射).将 式(2)和式(3)代入式(4)和式(5),得

$$\Delta \omega = \Delta \theta + \Delta \Phi$$
 (6)

$$\Delta \omega = \Delta \theta - \Delta \Phi \tag{7}$$

同样在以上两式中,下标1和2分别表示第一次 测量和第二次测量 . 联立式(6)和式(7)得

$$\Delta \theta = 2^{-1} (\Delta \omega + \Delta \omega) \tag{8}$$

$$\Delta \Phi = 2^{-1} (\Delta \omega + \Delta \omega)$$
 (8)
$$\Delta \Phi = 2^{-1} (\Delta \omega - \Delta \omega)$$
 (9)

由此可见,从AlGaAs 外延层和 GaAs 衬底同一 晶面两次非对称衍射的测量结果 Δω 和 Δω 就可 以确定出该晶面 AlGaAs 外延层和 GaAs 衬底的 Bragg 衍射角和晶面倾角的差 Δθ和 Δ9 从而就 可以确定出 AlGaAs 外延层的 Bragg 衍射角 θ和 晶面倾角 Φ 有了 AlGaAs 外延层的 Bragg 衍射 角 θ和晶面倾角 Φ就可以分析 AlGaAs 外延层的 应变情况和确定 AlGaAs 外延层的晶格常量.

一般来讲,当 AlGaAs 外延层存在应变时,其 在水平方向和垂直方向上的晶格常量不一样 $(\Delta \alpha \neq \Delta \alpha)$,因此在水平方向和垂直方向上的应 变也不一样⁴,且为

$$\Delta \alpha / \alpha = (\sin \theta \cos \phi / \sin \theta \cos \phi) - 1$$
 (10)

$$\Delta \alpha / \alpha = (\sin \theta \cos \phi / \sin \theta \cos \phi) - 1$$
 (11)

由式(10)和式(11)计算出 Δα/和 Δα.后,再由下 式计算出 AlGaAs 外延层的晶格常量

 $\alpha = \alpha (1 - 2v(\alpha - a//)/(1 + v)a \perp)$ 式中 α 为 AlGaAs 外延层的晶格常量,v 为泊松 比, $\Delta \alpha$ 和 $\Delta \alpha$ 分别为 AlGaAs 外延层水平方向 和垂直方向上的晶格常量,有了 AlGaAs 的晶格 常量,就可以确定其组分

$$x = (a - a_0) / (a_1 - a_0)$$
 (13)
式(13) 中的 x 表示 AlGaAs 外延层中的 Al 组份值, a , a 0 和 a 1 分别为 AlGaAs 、GaAs 和 AlAs 的晶格常量 · 另外对较薄的 AlGaAs 外延层,从摇摆曲线衍射条纹的角间距还可以由下式确定其厚度

 $t = \lambda_{\sin(\theta)} + \Delta\omega_{\sin(\theta)} + \Delta\omega_{\cos(\theta)} + \Delta\omega_{\cos(\phi)} + \Delta$ 式中t为AlGaAs外延层的厚度, θ 为所测晶面的 Bragg 衍射角,●为衍射晶面与样品表面法线的夹 角, Δω为衍射条纹的角间距.

以上关于 AlGaAs 外延层摇摆曲线的基本分 析方法和结论主要适用于单层 AlGaAs 外延层, 不适用于多层 AlGaAs 外延层, 因为其 AlGaAs 外延层摇摆曲线的半峰宽是各 AlGaAs 外延层摇 摆曲线的叠加. 另外由于 GaAs 光电阴极的 AlGaAs/GaAs 外延层是一种特殊的四层器件结 构外延层, 因此对 GaAs 光电阴极 AlGaAs 外延 层摇摆曲线的分析必须结合其本身的结构特点, 只有这样才能得到 AlGaAs 外延层中正确的结构 信息,从而为优化外延生长工艺提供科学的依据.

GaAs 光电阴极 AlGaAs/GaAs 外 延层的摇摆曲线分析

试验样品为利用低压 MOCVD 设备生长的 GaAs 光电阴极 AlGaAs/GaAs 外延层 · 该 MOCVD 设备采用卧式水平双衬套石英冷壁反 应器,内管的截面为长方形,外管的截面为圆形, 石墨样品台可旋转,生长压力为 60 托 · GaAs 外

延衬底的表面为(001)偏(110)约5°衬底直径为 Ф25mm, 厚为 0.4mm·CaAs 光电阴极 AlGaAs/ GaAs 外延层的 X 射线衍射摇摆曲线利用 Philips 公司生产的 PW 3040 型(X pert-MRD) 高分辨率 X 射线衍射仪进行测量 · 其单色器为 Ge(220) 四 晶准直单色器, Δ λ λ为 5×10^{-5} , 发散角为 12". 衍射晶面为(004).

采用ω2 的描,步长为0.0005°四个样品除 牛长温度外,其余条件相同.图2为四个样品的

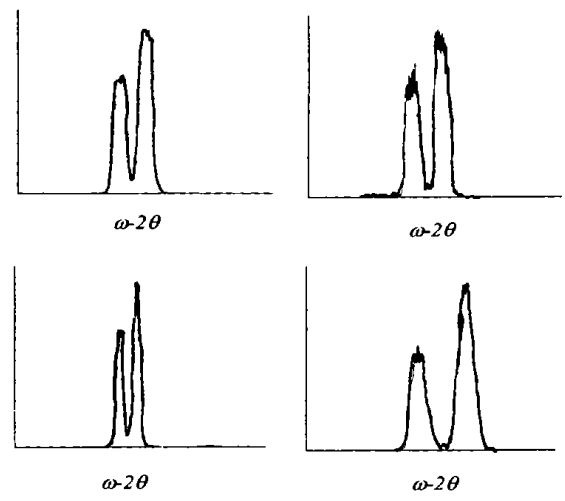


图 2 X 射线衍射实测摇摆曲线

Fig. 2 X-ray diffraction rocking curve of epitaxial layer X 射线衍射摇摆曲线,其中 164LP 和 165LP 两个 样品采用双温法生长(AlGaAs 外延层和 GaAs 外延层的生长温度不相同),166LP和176LP两 个样品采用单温法生长(AlGaAs 和 GaAs 外延 层的生长温度相同).表1是根据图2的摇摆曲 线所整理得到的数据.

表中的 ω、ω 和 Δω分别为 GaAs 和 AlGaAs 外延层摇摆曲线的衍射角及其角位移, 牱和牱 分别为 GaAs 和 AlGaAs 外延层摇摆曲线的半峰 宽, T1和 T2分别为GaAs和AlGaAs外延层的 生长温度.因为 GaAs 衬底的衍射角不会改变, 因此在GaAs光电阴极AlGaAs/GaAs外延层X射

表 1 GaAs 光电阴极 AlGaAs/GaAs 外延层摇摆曲线的衍射角及其角位移

样品	ω(ຶ)	ω ₍ ຶ)	Δω ຶ)	轲()	牱()	$T_1({}^{oldsymbol{\circ}}\!$	$T_2({}^{\circ}C)$
164LP	32.97574	32.90146	0.07428	120	111	600	630
165 LP	33.01430	32.95685	0.05745	103	98	600	615
166 LP	33.04299	33.00958	0.03341	56	59	600	600
176 LP	33.02632	32.97023	0.05609	116	118	630	630

线衍射摇摆曲线的分析中,可以将 GaAs 外延层 的衍射角作为一个标定衍射角的基准.这样当 AlGaAs 外延层同 GaAs 外延层衍射角的角位移 发生变化时,即认为是 AlGaAs 外延层的衍射角 发生了变化,从表1可以看出,在单温法生长的 两个样品中,176LP样品的生长温度为630℃,比 166LP 样品的生长温度高 30℃, 同时 176LP 样品 对应的 Δω 轲 和 轲 也大于 166LP 样品对应的 Δω、铜和铜. 在双温法生长的两个样品中, 164LP 样品和 165 样品 GaAs 外延层的生长温度均为 600℃,但 164LP 样品 AlGaAs 外延层的生长温度 比 165 样品 AlGaAs 外延层的生长温度高 15℃, 同时 164LP 样品对应的 物 有 和 牱 也大于 165LP 样品所对应的 物 牱 和 牱. 由此可见, GaAs 光电阴极 AlGaAs/GaAs 外延层无论是采 用单温法生长还是采用双温法生长, AlGaAs 外 延层和(或) GaAs 外延层的生长温度越高,对应的 角位移△∞和摇摆曲线的半峰宽牱和牱也就越大.

原因是 AlGaAs 与 GaAs 存在晶格参量失配 和热膨胀系数失配, 生长温度越高, 热应力越大。 热应力的作用使 AlGaAs 外延层的晶格在水平方 向受到压缩,同时为补偿其在水平方向的收缩, AlGaAs 外延层的晶格在垂直样品的方向上必然 会发生膨胀,相当于受到拉伸, 生长温度越高,这 种拉伸也越大,因此 AlGaAs 外延层的面间距 d 也就越大,这样就造成 AlGaAs 外延层的衍射角 同 GaAs 衍射角的差 Δω越大、另外由于 GaAs 光电阴极 AlGaAs/GaAs 外延层是具有一定的厚 度的四层结构外延层,在其外延层的上下两边界 上都存在热应力,边界上的热应力必然会向外延 层内部释放,使外延层的晶格存在一晶面间距变 化梯度 41. 外延层的生长温度越高, 边界热应力 越大,晶面间距变化的梯度 42 越大,所以摇摆曲 线的半峰宽也就越宽. 另外从图 2 看出双温法生 长的 164LP 和 165LP 两个样品的摇摆曲线衍射 峰的顶端出现了"毛刺". 原因是因为双温法采用 了不同的生长温度,这样就造成了 AlGaAs 或 GaAs 外延层上下界面上的应变不相等,因此就引 入了附加的非均匀应变,从而使双温法生长的外 延层的摇摆曲线的衍射峰顶端出现了"毛刺".

综上所述,由于 AlGaAs/GaAs 外延层具有一定的厚度,且存在晶格失配和热膨胀系数失配,因此他们之间就会存在边界热应力,这样就造成

GaAs 光电阴极 AlGaAs/GaAs 外延层的衍射角角位移和摇摆曲线的半峰宽同生长温度有关.温度越高, 衍射角的角位移越大, 摇摆曲线半峰宽越宽. 所以 GaAs 光电阴极 AlGaAs/GaAs 外延层 X 射线衍射摇摆曲线半峰宽和衍射角角位移的大小除了反映外延层的结晶质量和组份大小外, 还反映了外延层中的应变大小, 在对 GaAs 光电阴极 AlGaAs/GaAs 外延层 X 射线衍射摇摆曲线进行分析时应该充分考虑到这一点.

4 结论

在半导体外延层的生长过程中,常以 Cu-K α (004) 晶面 X 射线衍射的摇摆曲线来分析外延层 的晶格常量、组分、膜厚、应变等·对于 GaAs 光 电阴极这种特殊的四层 AlGaAs/GaAs 器件结构 外延层而言,由于外延层具有一定的厚度,且存在 热膨胀系数失配和晶格失配,这样就会存在热应 力,在热应力的作用下 AlGaAs 外延层的晶格在 水平方向上会受到压缩,而在垂直方向上受到拉 伸 · 另外 AlGaAs 外延层和 GaAs 外延层在热应 力的作用下还会存在晶面间距变化梯度,因此就 造成了其衍射角的角位移和摇摆曲线的半峰宽随 生长温度的提高而增大. 所以 GaAs 光电阴极 AlGaAs 外延层和 GaAs 外延层 X 射线衍射摇摆 曲线的半峰宽和衍射角的角位移的大小除与外延 层的结晶质量和组份大小有关外,还与外延层中 应变的大小有关. 所以在比较 GaAs 光电阴极外 延层 X 射线衍射摇摆曲线半峰宽时,只有在外延 层的层数和厚度相同的条件下比较才有意义. 在 GaAs 光电阴极 AlGaAs/GaAs 外延层的 MOCVD 生长过程中不能将外延层 X 射线衍射 摇摆曲线的半峰宽作为评价外延层结晶质量的唯 一标准 · GaAs 光电阴极 AlGaAs/GaAs 外延层 X 射线衍射摇摆曲线半峰宽比体单晶摇摆曲线的半 峰宽宽是必然的, 生长温度越高, GaAs 光电阴极 AlGaAs/GaAs 外延层中的应变就越大,摇摆曲线 的半峰宽也就越宽, 所以要降低外延层中的应 变,就要降低外延层中的生长温度,同时由于单温 法生长较双温法生长有更小而均匀的应变,因此 在外延生长过程中应采用单温法生长工艺,并且 在保证外延层结晶质量的条件下,生长温度应该 尽量低,这样才能减小外延层中的应变,降低摇摆 曲线的半峰宽,从而满足外延层后续工艺的要求.

参考文献

- 1 Fewster P F·X-ray diffraction from low dimensional structures Semicond Sci Technol, 1993, 8(10):1915~1916
- Fewster P F · Composition and lattice mismatch measurements of thin semiconductor layers by X-ray diffraction · J Appl Phys, 1987, 62(10): 4154~4158
- Bartels W J. Nijman W J. X-ray double crystal diffractometry of Gai-xAlx As epitaxial layers. J Crystal Growth, 1978, 44(25):522~523
- 4 van der Sluis P· Determination of strain in epitaxial semiconductor structures by high-resolution X-ray diffraction 1994, A 58:129 ∼ 134
- Bartels W J. Nijman W J. X-ray double crystal diffractometry of Gai-xAlxAs epitaxial layers. J Crystal Growth, 1978, 44(25):518~525

THE X-RAY DIFFRACTION ROCKING CURVE OF AlGaAs/GaAs EPITAXIAL LAYER OF TRANSPARENT GaAs PHOTOCATHODE

Li Xiaofeng, Zhang Jingwen, Gao Hongkai, Hou Xun

Xi an Institute of Optics and Precision Mechanics, Chinese Academy of Sciences, Xi an, 710068

Received date: 2001-07-05

Abstract This paper described the structure characteristics and analysis method of rocking curve of AlGaAs/GaAs epitaxial layer, explained the phenomenon of broading of FWHM and increasing of diffraction peak seperation of rocking curve of AlGaAs and GaAs epitaxial layer with their upgrading growth temperature.

Keywords GaAs; AlGaAs; X-ray; Photocathode; Diffraction; Epitaxy



Li Xiaofeng is a native of Yunnan Province, China. He was an employeeand engineer in Yunnan Optical Instruments Factory before he was enrolled in Xi'an Institute of Optics and Precision Mechanics of ChineseAcademy of Sciences as a Doctoral Candidate in Sept, 1997. Now he is working toward his Ph.D degree. His major is optics and his adviser is Mr. Hou Xun, a senior scientist and Acadenican of Chinese Academy of Sciences. His research field covered the semiconductor photoenission, semiconductor epitaxial technology, surface analysis, noise signalprocessing and the third generation image intensifier.